

## ИНДУЦИРОВАННАЯ ШУМОМ СВЕРХЧУВСТВИТЕЛЬНОСТЬ К СЛАБЫМ ПЕРЕМЕННЫМ СИГНАЛАМ

С.Л.Гинзбург, М.А.Пустовойт<sup>1)</sup>

Петербургский институт ядерной физики им.Б.П.Константинова РАН  
188350 Гатчина, Ленинградская обл., Россия

Поступила в редакцию 10 марта 1998 г.

Примером полезной роли шума в процессах передачи информации является известное явление стохастического резонанса. В настоящей работе мы рассматриваем другой такой пример – гигантское усиление сверхслабых сигналов в системе с on-off-перемежаемостью, индуцированное параметрическим шумом.

PACS: 02.50.Ey, 05.40.+j

До недавнего времени роль шума в процессах передачи информации считалась чисто деструктивной. Однако не так давно было открыто явление стохастического резонанса, то есть усиления сигнала и улучшения соотношения сигнал – шум при прохождении через систему сигнала с добавленным к нему шумом при оптимальной интенсивности последнего. Экспериментально и теоретически показано, что стохастический резонанс может существовать в самых различных системах, от ледниковых эпох до сквида (см., например, [1]). Тем самым было продемонстрировано, что шум способен играть важную конструктивную роль в процессе передачи сигнала.

В настоящей работе мы продемонстрируем эту конструктивную роль на другом примере – простой стохастической модели, демонстрирующей свойство on-off-перемежаемости. Системы с on-off-перемежаемостью в последнее время привлекают растущий интерес исследователей [2–4]. Эти системы характеризуются гигантскими флуктуациями физических величин, которые могут с близкой вероятностью принимать конечные значения и становиться в ламинарной фазе исчезающе малыми. Ниже мы опишем обнаруженное нами необычное явление, возникающее в этих системах, которое вызвано наличием в них параметрического шума оптимальной интенсивности. Это – гигантская реакция системы на очень малые воздействия (сверхчувствительность), когда возмущения порядка, например,  $10^{-20}$  вызывают отклик порядка 1.

Простейшим уравнением, способным демонстрировать on-off-перемежаемость, является уравнение передемпфированного крамерсовского осциллятора [5, 6]:

$$dx/dt = \lambda x + \beta \xi(t)x - Ux^3 + \sigma \varphi(t) + AR(t),$$

$$\langle \xi(t)\xi(t') \rangle = \langle \varphi(t)\varphi(t') \rangle = \delta(t - t'), \quad \langle \xi(t)\varphi(t') \rangle = 0, \quad (1)$$

$$R(t+T) = R(t) = \begin{cases} 1, & 0 < t \leq T/2 \\ -1, & T/2 < t \leq T. \end{cases}$$

Здесь  $\xi(t), \varphi(t)$  – гауссовский белый шум,  $\lambda, \beta, U, \sigma, A$  – константы, а  $R(t)$  – прямоугольный периодический сигнал. Уравнение (1) понимается по Стратоновичу. Мы

<sup>1)</sup> e-mail: markp@hep486.pnpi.spb.ru

видим, что шум входит в него как аддитивно, так и мультипликативно, и последний, как будет видно далее, и вызывает сверхчувствительность. Отметим, что случай  $A = \sigma = 0$  был подробно изучен в книге [5].

В отсутствие шума ( $\beta = \sigma = 0$ ) и при  $A \ll 1$  уравнение (1) легко решается, и можно показать, что амплитуда выходного сигнала  $\Delta x \sim A/|\lambda|$ , то есть никакого усиления сигнала не происходит.

Уравнение Фоккера – Планка (УФП) для уравнения (1) имеет следующий вид:

$$\frac{\partial F}{\partial t} = -\frac{\partial}{\partial x} \left\{ \left[ \left( \lambda + \frac{\beta^2}{2} \right) x - Ux^3 + AR(t) \right] F \right\} + \frac{1}{2} \frac{\partial^2}{\partial x^2} \{ (\beta^2 x^2 + \sigma^2) F \}. \quad (2)$$

Решить уравнение (2) в общем виде довольно трудно, поэтому воспользуемся следующим приближением. Сигнал  $R(t)$  в (1) принимает два значения:  $\pm 1$ . Пусть  $T_0$  – время установления равновесия после переключения сигнала с одного значения на другое. Предположим, что сигнал удовлетворяет условию адиабатичности

$$T \gg T_0. \quad (3)$$

УФП в этом случае легко решается. Получим при  $(A, \sigma) \ll (\lambda, \beta, U)$

$$F(x) = C \left( x^2 + \frac{\sigma^2}{\beta^2} \right)^{(\alpha-1)/2} \exp \left\{ \frac{2AR(t)}{\beta\sigma} \arctan \frac{\beta x}{\sigma} - \frac{Ux^2}{\beta^2} \right\}, \quad (4)$$

$$\alpha = 2\lambda/\beta^2,$$

где  $C$  – нормировочная константа.

В дальнейшем у нас будет везде  $\beta, U \sim 1$ ,  $\lambda \sim 0.01$ ,  $A, \sigma \sim 10^{-n}$ ,  $n \gg 1$ . Тогда в очень широкой области  $10^{-n} \ll x \ll 1$  из (4) получаем скейлинговую плотность распределения:

$$F(x) \sim |x|^{\alpha-1}, \quad (5)$$

что является, согласно [6–8], одним из критериев наличия on-off-перемежаемости. Рассмотрим предел  $\sigma \rightarrow 0$  (слабый сигнал много больше аддитивного шума). Полагая

$$\arctan \frac{\beta x}{\sigma} \xrightarrow{\sigma \rightarrow 0} \frac{\pi}{2} \text{sign } x - \frac{\sigma}{\beta x},$$

мы получим

$$F(x) = C|x|^{\alpha-1} \exp \left\{ \frac{A\pi R(t)}{\beta\sigma} \text{sign } x - \frac{2AR(t)}{\beta^2 x} - \frac{Ux^2}{\beta^2} \right\}. \quad (6)$$

Большой первый член в экспоненте означает, что при положительном сигнале  $R$  плотность распределения отлична от нуля лишь для положительных  $x$ , а при отрицательном – для отрицательных, то есть

$$F(x) = C|x|^{\alpha-1} \theta(\text{sign } AR(t)x) \exp \left\{ -\frac{2AR(t)}{\beta^2 x} - \frac{Ux^2}{\beta^2} \right\}, \quad (7)$$

где  $\theta(x)$  – единичная функция Хевисайда. Нормировочный множитель  $C$  точно не вычисляется, а его асимптотики при  $|\alpha| \ll 1$ ,  $U/\beta^2 \sim 1$  имеют вид

$$C = \begin{cases} \alpha; & \alpha > 0, z \gg 1, \\ 1/\ln \frac{1}{\alpha}; & z \ll 1, \\ |\alpha|A^{|\alpha|}; & \alpha < 0, z \gg 1, \end{cases} \quad (8)$$

$$z = |\alpha| \ln \frac{1}{A}.$$

Смена асимптотик в (8), то есть кроссовер, происходит, когда параметр  $z$  становится порядка единицы, то есть при амплитуде сигнала

$$A_0 = \exp(-1/r|\alpha|). \quad (9)$$

Таким образом, при малых значениях  $\alpha$  очень слабый сигнал способен кардинальным образом менять плотность распределения.

Чтобы оценить амплитуду выходного сигнала, вычислим моменты  $F(x)$  при  $z \ll \ll 1$ . Учитывая явный вид  $R(t)$ , получим:

$$\langle x(t) \rangle = \frac{\beta}{2} \sqrt{\frac{\pi}{U}} \frac{1}{\ln(1/A)} R(t), \quad \langle x^2(t) \rangle = \frac{\beta^2}{2U} \frac{1}{\ln(1/A)}, \quad (10)$$

$$\frac{\langle x(t) \rangle^2}{\langle x^2(t) \rangle} = \frac{\pi}{2 \ln(1/A)} \ll 1.$$

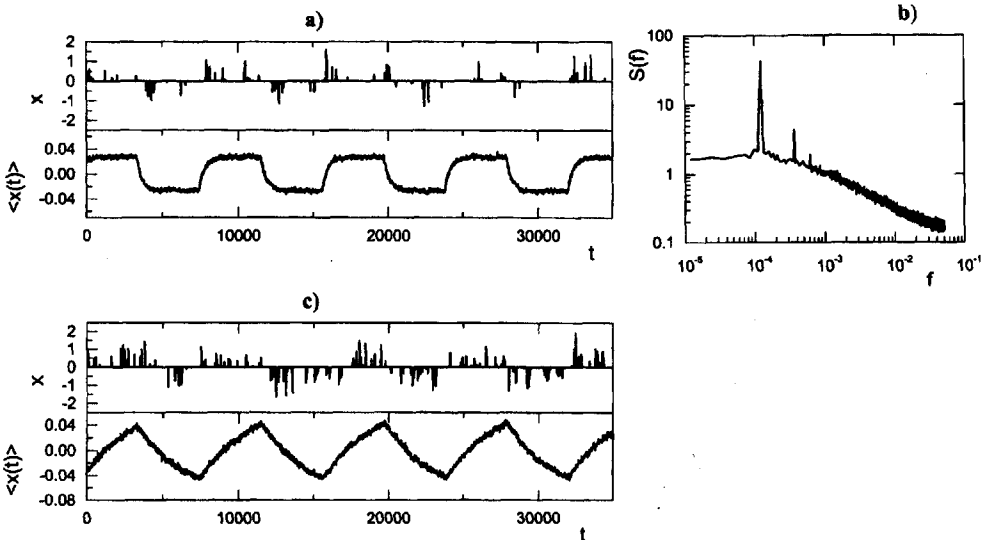


Рис.1.а) Реализация выходного сигнала  $x$  и среднего  $\langle x(t) \rangle$  по ансамблю из 4100 реализаций с одинаковой фазой входного сигнала при  $\beta = 1.0, \lambda = -0.01$ ; б) Спектр мощности  $x$  сигнала а, полученный усреднением по 200 реализациям со случайной фазой; в) То же, что и а), но при  $\lambda = 0.03$ . Амплитуда входного сигнала  $A = 10^{-11}$ , период  $T = 8192$

Коэффициент усиления сигнала равен:

$$I = \frac{\langle x(t) \rangle}{AR(t)} = \sqrt{\frac{\pi}{4U}} \frac{\beta}{A \ln(1/A)}. \quad (11)$$

Например, при  $\beta = 0.7, U = 1, A = 10^{-11}$  получим  $I = 2.5 \cdot 10^9$ . Таким образом, наша модель передемпфированного крамерсовского осциллятора благодаря мультипликативному шуму обладает свойством сверхчувствительности к слабым сигналам. Похожее явление – чувствительность системы к слабому *постоянному возмущению*,

вызванная добавляемым к возмущению шумом, изучалась ранее (см.[9] и ссылки в ней) на примере хиральной селективности химической реакции. В нашем случае, помимо того, что шум, индуцирующий чувствительность, является параметрическим, система способна усиливать сигнал, *зависящий от времени*. Несмотря на большую, по сравнению с сигналом, дисперсию  $x$ , явление легко обнаружить обычными статистическими методами. Так, на рис.1 приведены реализации  $\langle x(t) \rangle$  при  $A = 10^{-11}$ ,  $\lambda = -0.01$  и  $0.01$ ,  $\beta = 1.0$ ,  $U = 1$  как средние по ансамблю из 4100 реализаций  $x(t)$  с одинаковой фазой входного сигнала. Отметим, что при сравнительно небольших *усредненных* величинах сигнала, *мгновенные* значения амплитуды могут достигать величин порядка 1, делая возможным обнаружение сверхслабого сигнала малочувствительным детектором. Если выполнено условие адиабатичности, то, согласно (10),  $\langle x(t) \rangle = yR(t)$ , и коэффициент усиления  $I = y/A$ . Если же условие адиабатичности не выполняется, можно определить  $I$  по формуле

$$I^2 = \frac{1}{T} \int_0^T \frac{\langle x(t) \rangle^2}{A^2} dt. \quad (12)$$

Поскольку, как видно из рис.1, даже после усреднения по большому числу реализаций  $\langle x(t) \rangle$  остается стохастической функцией, коэффициент  $I$  в (12) удобнее вычислять другим способом. В [10] показано, что, если мы имеем совокупность реализаций со случайной фазой, то их спектральная плотность равна

$$S(\omega) = 2\pi \sum_k |x_k|^2 \delta(\omega - k\Omega) + S_{noise}(\omega),$$

где  $x_k$  есть коэффициенты Фурье периодической функции  $\langle x(t) \rangle$ , а  $S_{noise}$  - шумовой вклад в спектральную плотность. Из (12) видно, что

$$I^2 = \sum_k |x_k|^2 / A^2, \text{ то есть } I^2 = \frac{\delta f}{A^2} \sum_i (S_i - S_{noise}),$$

где  $S_i$  есть  $i$ -я гармоника сигнала в спектре, а  $\delta f$  - ширина спектральной полосы. На рис.2а приведена зависимость  $I$  от параметра  $\lambda$  при фиксированном шуме  $\beta = 0.7$ . Видно, что оценка (11), написанная для случая  $|\alpha| \approx 0$ , прекрасно согласуется с расчетными данными. Штриховой линией на рисунке показаны результаты, полученные при постоянном входном сигнале ( $R(t) = 1$ ). Коэффициент усиления становится ниже статического значения тогда, когда время релаксации  $T_0$  (точечная линия на рис.2а; аналитическая оценка, как можно показать, есть  $T_0 \sim A^{-\alpha}$ ) становится сравнимым с периодом сигнала, то есть условие адиабатичности нарушается. При увеличении периода сигнала область адиабатичности увеличивается, как это и видно на рис.2а. Рис.2б демонстрирует зависимость усиления от величины управляющего (мультипликативного) шума. Эта зависимость имеет максимум, как при обычном стохастическом резонансе, с той разницей, что в нашей системе сигнал является аддитивным, а шум - параметрическим.

Таким образом, нами продемонстрировано аналитически и с помощью компьютерного моделирования, что простая стохастическая система с on-off-переключаемостью при малых абсолютных значениях параметра  $\alpha$  обладает индуцированной шумом сверхчувствительностью к слабым переменным сигналам, являясь примером конструктивной роли шума в природе.

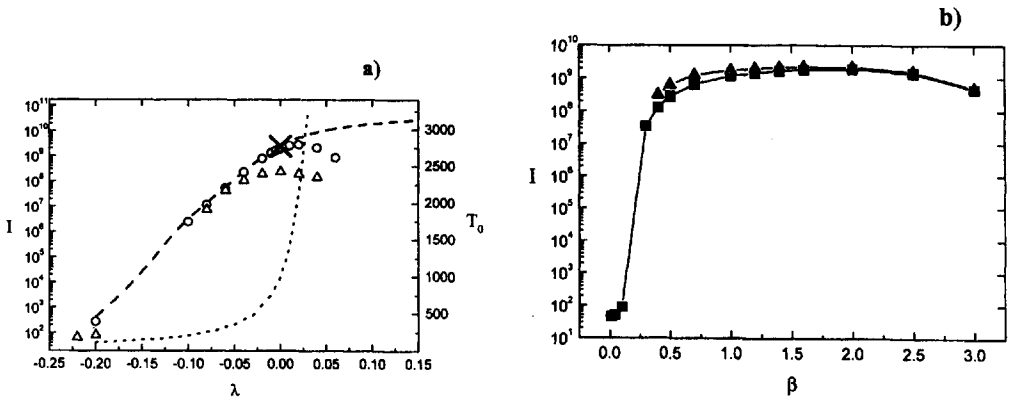


Рис.2. а) Зависимость коэффициента усиления  $I$  при периоде сигнала  $T = 819(\Delta)$ ,  $T = 8192(\circ)$  и времени релаксации  $T_0$  (точечная линия) от параметра  $\lambda$  при фиксированном  $\beta = 0.7$ . Штриховой линией показаны результаты при статическом входном сигнале. Крестик – оценка (11). б) Зависимость  $I$  от интенсивности мультипликативного шума  $\beta$  при значениях  $\lambda = -0.01(\blacksquare)$  и  $0.01(\blacktriangle)$ . Параметры входного сигнала те же, что и на рис.1

Работа поддержана Государственной программой "Физика квантовых и волновых процессов", подпрограмма "Статистическая физика", проект VIII-3, а также Государственной программой "Нейтронные исследования вещества".

1. L.Gammaitoni, P.Hänggi, P.Jung, and F.Marchesoni, Rev. Mod. Phys, **70**, 223 (1998).
2. N.Platt, E.A.Spiegel, and C.Tresser, Phys. Rev. Lett. **70**, 279 (1993).
3. J.F.Heagy, N.Platt, and S.M.Hammel, Phys. Rev. **E49**, 1140 (1994).
4. N.Platt, S.M.Hammel, and J.F.Heagy, Phys. Rev. Lett. **72**, 3498 (1994).
5. W.Horsthemke and R.Lefever, *Noise-induced phase transitions*, Springer, N.Y., 1984.
6. H.L.Yang and E.J.Ding, Phys. Rev. **E54**, 1361 (1996).
7. A.S.Pikovsky, Phys. Lett. **A165**, 33 (1992).
8. A.S.Pikovsky and P.Grassberger, J. Phys. **A24**, 4567 (1991).
9. D.K.Kondepudi, I.Prigogine, and G.W.Nelson, Phys. Lett. **A111**, 29 (1985).
10. P.Jung, Phys. Rep. **234**, 175 (1993).